

## ЭЛЕКТРИЧЕСКИЕ И ФОТОЭЛЕКТРИЧЕСКИЕ СВОЙСТВА ДИОДНЫХ СТРУКТУР Pd— $p$ — $p^+$ -InP И ИЗМЕНЕНИЕ ИХ В АТМОСФЕРЕ ВОДОРОДА

Г. Г. Ковалевская, М. М. Мередов, Е. В. Руссы,  
Х. М. Салихов, С. В. Слободчиков, В. М. Фетисова

Физико-технический институт им. А. Ф. Иоффе Российской академии наук, 194021, Санкт-Петербург,  
Россия

(Получена 28.12.1991. Принята к печати 24.04.1992)

На созданных диодных структурах Pd— $p$ — $p^+$ -InP напылением в вакууме Pd на слой  $p$ -InP, полученные газовой эпитаксией, исследованы вольт-амперные и вольт-фарадные характеристики и спектральная фоточувствительность. Установлено влияние глубоких центров захвата дырок большой плотности  $N_t > 10^{15}$  см $^{-3}$  на электрические параметры диодов. Показано, что механизмы токопрохождения определяются двойной инжекцией в диффузационном приближении в  $p$ -слой. Установлено изменение темнового тока и фотоэдс в атмосфере водорода, достигающего соответственно 1.5 порядка и 100%. Показано, что это влияние водорода не связано с изменением работы выхода Pd, а определяется изменением свойств границ раздела Pd—промежуточный слой—InP (образование дипольного слоя), наличием центров захвата дырок, что приводит к изменению дырочной и электронной темновой и световой компонент тока. Полученные результаты представляют практический интерес для создания датчиков водородсодержащих газов.

Исследованию и созданию детекторов водорода и других водородсодержащих газов с использованием диодных полупроводниковых структур с палладиевым контактом уделяется значительное внимание [<sup>1-4</sup>]. Принцип их действия основан на изменении электрических характеристик (прямого или обратного тока, емкости, порогового напряжения транзистора и т. д.) в соответствующей газовой среде. В [<sup>5</sup>] нами предложен способ регистрации водорода по изменению фотоэлектрических характеристик диодов Шоттки и, в частности, Pd— $n$  ( $p$ )-InP. В большинстве опубликованных работ основной причиной изменения характеристик считаю снижение высоты барьера на границе металл—полупроводник из-за уменьшения работы выхода Pd под влиянием водорода. Наши данные, ранее опубликованные [<sup>5, 6</sup>] и обсуждаемые в настоящей статье, относящиеся к диодным структурам на основе InP, свидетельствуют о том, что определяющую роль могут играть, помимо работы выхода Pd, свойства границы раздела металл—полупроводник, свойства исходных кристаллов и связанные с ними механизмы токопрохождения и генерации фотоэдс.

Диодные структуры Pd— $p$ — $p^+$ -InP создавались напылением палладия в вакууме (при давлении  $\sim 10^{-5}$  мм рт. ст.) на слой  $p$ -InP ориентации (100) толщиной  $\sim 2$  мкм с  $p = 1 \cdot 10^{16}$  см $^{-3}$ , выращенный методом газовой эпитаксии на подложке  $p^+$ -InP с  $p^+ = 1 \cdot 10^{18}$  см $^{-3}$  и толщиной 400 мкм (рис. 1, a). Толщина слоя Pd — 400—500 Å. Контакты к  $p^+$ -InP создавались нанесением сплава Ag + Zn.

### 1. Электрические и фотоэлектрические свойства

На рис. 2 представлены типичные вольт-амперные характеристики (ВАХ) при прямых смещениях одного из образцов, снятые при  $T = 300$  и 120 К. Аналитически ВАХ при  $T = 300$  К может быть представлена соотношением

Рис. 1. Технологическая (a) и зонная (b) схемы диодной структуры Pd-p-p<sup>+</sup>-InP.

$$J = J_1 \exp \left( \frac{qV}{nkT} \right), \quad (1)$$

причем  $n$  в нашем случае для разных образцов имело значение в интервале 10—30. Понижение температуры приводит к снижению  $n$  до 3—4 (рис. 2, начальный линейный участок на кривой 2) и появлению широкой области неэкспоненциальной зависимости. Отметим далее, что ВАХ в ряде диодов имели вид, аналогичный прерывистой кривой 4 на рис. 2.

Анализ результатов измерений с помощью зависимости (1) свидетельствует о том, что токопрохождение в диодах не определяется термоэлектронной эмиссией, диффузионными или генерационно-рекомбинационными токами. Не связано оно также и с туннелированием, поскольку наклон характеристики (рис. 2) сильно изменяется с изменением температуры. Наличие длинновременных релаксационных явлений на ВАХ, когда при изменении напряжения и фиксировании его при определенном значении ток имеет всплеск, а затем в течение нескольких секунд спадает до равновесных значений, дает основание предположить существование ряда уровней захвата дырок как в области объемного заряда, так и во всем слое  $p$ -InP. В [7] в слоях  $p$ -InP, также полученных газовой эпитаксией, найдены глубокие уровни захвата дырок с энергиями 0.09, 0.22, 0.29, 0.41 и 0.50 эВ, причем концентрация некоторых из них достигала  $2 \cdot 10^{14} \text{ см}^{-3}$ . В [5, 8] мы отмечали наличие промежуточного слоя (ПС) и его влияние на свойства структур, и зонная схема изученных нами диодов может быть представлена в таком виде, как показано на рис. 1, b.

На рис. 3 приведена вольт-фарадная характеристика одного из образцов (частота 1 МГц), на которой в координатах  $C^{-2} = f(V)$  можно выделить два прямолинейных участка. Оценка концентрации ионизованных акцепторов ( $N_a - N_d$ ) по наклону

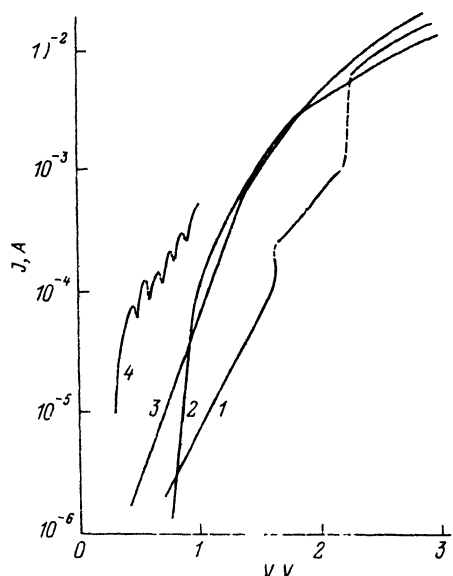
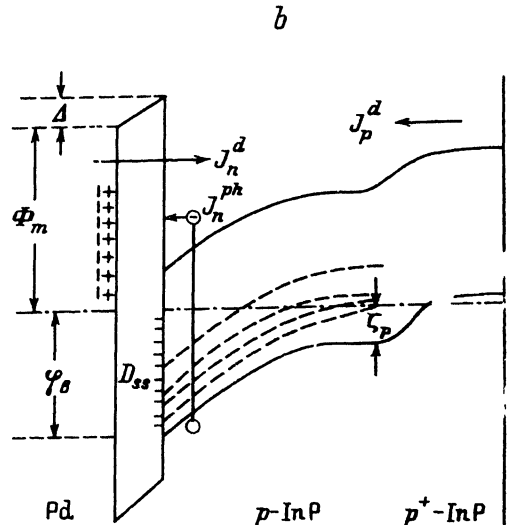
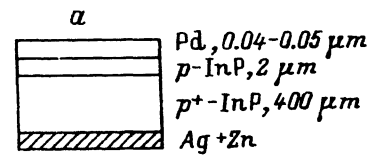


Рис. 2. Вольт-амперные характеристики диодной структуры Pd-p-p<sup>+</sup>-InP.  $T, \text{К: } 2 - 120; 1, 3, 4 - 300. 3 - \text{в атмосфере H}_2, 4 - \text{«релаксационная» ВАХ.}$

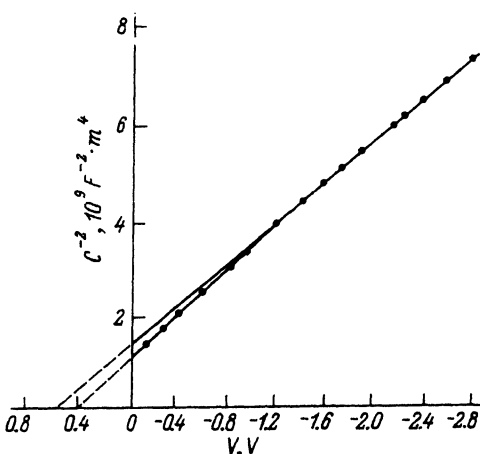


Рис. 3. Вольт-фарадная характеристика диодной структуры  $\text{Pd}-p-p^+-\text{InP}$  на частоте 1 МГц.

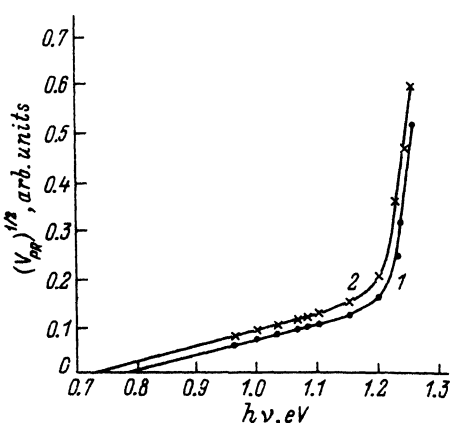


Рис. 4. Зависимость фотоответа в длинноволновой области от энергии фотонов в координатах  $V_{PR}^{1/2} = f(h\nu)$ ; отсечка на оси  $h\nu$  дает  $\varphi_B^{PR}$ .

$\frac{dC^{-2}}{dV} = \frac{2}{q\varepsilon\varepsilon_0(N_a - N_d)}$  в области обоих участков дает значения в интервале (1.4— $2.5 \cdot 10^{16}$  см $^{-3}$ , что выше величин, определенных непосредственно в слоях  $p$ -InP. Величина отсечки на оси напряжений при экстраполяции линейных участков составляет  $V_1 = 0.38$  и  $V_2 = 0.58$  В. Тогда предполагаемая высота барьера  $\varphi_B^{CV} = -V_{1,2} + \zeta_p + \frac{kT}{q}$  должна быть в интервале  $\varphi_B^{CV} = 0.54$ —0.74 эВ ( $\zeta_p = 0.14$  эВ при  $T = 300$  К).

Для более прямой оценки высоты барьера был измерен длинноволновой участок спектра фотоэдс  $V_{PR}$  и по зависимости  $V_{PR}^{1/2} = f(h\nu)$  (рис. 4, кривая 1) получено значение  $\varphi_B^{PR} = 0.79$  эВ, что находится в хорошем согласии с другими данными [9]. Расхождение в значениях  $\varphi_B^{CV}$  и  $\varphi_B^{PR}$  может быть по двум основным причинам — либо вследствие наличия в слое объемного заряда большой плотности ловушек для дырок, либо благодаря влиянию промежуточного слоя с большой плотностью поверхностных состояний.

Дополнительный анализ на основе данных работы [10] показал, что главной причиной расхождения  $\varphi_B^{CV}$  и  $\varphi_B^{PR}$  следует считать влияние глубоких центров захвата с большой плотностью. Наличие двух наклонов на зависимости  $C^{-2} = f(V)$  свидетельствует о преобладающем вкладе одного из центров захвата дырок при небольших обратных смещениях и другого — при более высоких.

Механизм токопрохождения, определяемый (1), в исследованных диодных структурах можно объяснить процессами двойной инжеクции носителей в слой  $p$ -InP в диффузационном приближении [11]. Ионизованные центры захвата создают как в слое истощения, так и в объеме пространственный заряд. Инжекционными контактами для дырок служит  $p^+$ -InP, для электронов — Pd. В этой модели токопрохождения  $n$ -ch ( $W/L$ ) (при  $W > L$ ), где  $W$  — длина квазинейтральной области,  $L$  — длина диффузационного смещения. Из максимальных  $n$  имеем  $L = 0.5$  мкм при  $W = 2$  мкм. Оценка  $\tau$  по  $L^2 = \mu_p kT\tau/q$  с  $\mu_p \approx 150$  см $^2/\text{В}\cdot\text{с}$  дает  $\tau \approx \tau_p \approx 7 \cdot 10^{-10}$  с ( $T = 300$  К). Столь малая величина времени жизни связана, вероятно, с захватом дырок. При  $W < L$ , как следует из теории, в (1)  $n = 2$ . Выше отмечалось, что понижение температуры уменьшает  $n$ . В случае  $n = 3$   $L$

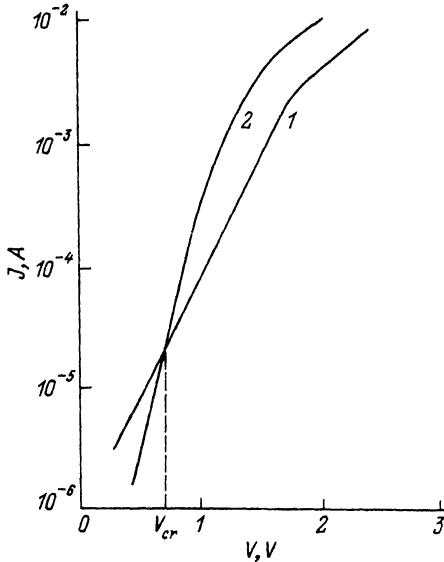


Рис. 5. Вольт-амперные характеристики диода.  $T = 300$  К. 1 — без  $\text{H}_2$ , 2 — с  $\text{H}_2$ .

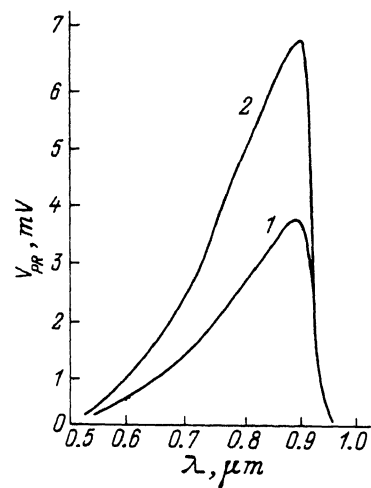


Рис. 6. Зависимость фотоответа от длины волн диодной структуры  $\text{Pd}-p-p^+-\text{InP}$ . 1 — без  $\text{H}_2$ , 2 — с  $\text{H}_2$ .

увеличивается до 1.1 мкм, т. е. изменение  $n$  соответствует ожидаемому в принятой модели.

Учитывая отмеченную ранее роль глубоких центров захвата дырок в механизме токопрохождения, некоторый разброс значений  $n$  в (1) в различных образцах прежде всего, вероятно, связан с неоднородным их распределением в исходных слоях  $p$ -InP. Это обстоятельство отмечено также в [7].

## 2. Влияние водорода на электрические и фотоэлектрические характеристики

Было проверено влияние водорода на ВАХ и спектральную фотоэдс. На рис. 5 (см. также рис. 2) приведены кривые ВАХ, снятые при  $T = 300$  К в вакууме или обычной воздушной атмосфере (рис. 5, кривая 1) и в атмосфере водорода (рис. 5, кривая 2). Характерно, что показатель  $n$  в экспоненциальной зависимости (1) при изменении в атмосфере  $\text{H}_2$  сильно уменьшается (иногда в 2 раза), причем точка пересечения кривых 1 и 2 часто наблюдалась при  $V_{cr} \approx 0.75-0.8$  В (рис. 5), хотя для ряда образцов обнаружены другие значения  $V_{cr}$ , а в некоторых случаях при изменении наклона пересечения вообще не наблюдалось (рис. 2).

На рис. 6 представлены спектральные кривые фотоэдс типичного образца (не пересчитанные на спектральное распределение источника излучения), снятые при  $T = 300$  К в вакууме (кривая 1) и атмосфере водорода (кривая 2).

На всех образцах диодов наблюдался рост фотоэдс во втором случае. Это изменение фотоэдс слабо селективно по отношению к энергии возбуждающих фотонов и составляет  $\sim 100\%$  при  $h\nu < h\nu_{max}$  — энергии максимальной фотоэдс.

Принимая во внимание изложенные результаты по влиянию  $\text{H}_2$  на ВАХ и фотоэдс, можно сделать вывод, что механизм этого воздействия различен в этих двух случаях, но имеет в основе одну причину. Следует отклонить в данном случае версию о резком снижении высоты барьера  $\varphi_B$  как главной причины изменения темнового тока и фотоэдс, поскольку уменьшение  $\varphi_B$  составляет всего лишь  $\sim 7\%$ . Основной причиной изменений этих характеристик под воздействием водорода являются возможное образование дипольного слоя на границе  $\text{Pd}-\text{ПС}$  и в самом ПС и изменение плотности поверхностных состояний  $D_{ss}$  в ПС (рис. 1, б). Предполагается, что  $\text{H}_2$  при поглощении в  $\text{Pd}$  диссоциирует на ионы, создающие дипольный слой [12]. При небольших смещениях ( $< 0.8$  В) общий

ток  $J$  в атмосфере  $H_2$  мал, во-первых, благодаря тому, что уменьшается коэффициент инжекции электронов  $J_n^d/J$  из-за наличия поля дипольного слоя и, во-вторых, увеличивается захват дырок (их коэффициент инжекции в  $p$ -JnP —  $J_p^d/J$ ) на ловушках в слое истощения и на поверхностных состояниях  $D_{ss}$ . Далее с ростом прямого смещения зоны разгибаются, барьер уменьшается, и возрастают как компонента дырочного тока, ибо центры захвата и поверхностные состояния заполнены, так и электронная компонента  $J_n^d$  вследствие нейтрализации внешним напряжением поля диполя. С этой качественной моделью согласуется и изменение фотоэдс. Напряжение холостого хода МДП структур может быть представлено

$$V_{oc} = \frac{n_1 kT}{q} \left( \ln \frac{J_{cc}}{A^* T^2} + \frac{\varphi_B}{kT} + b_p \chi_p^{1/2} t \right), \quad (2)$$

где  $n_1$  — коэффициент неидеальности барьера Шоттки,  $A^*$  — эффективная постоянная Ричардсона,  $b_p$  — константа туннелирования дырок,  $\chi_p$  — высота барьера для дырок,  $t$  — толщина ПС. Из (2) следует, что двукратный рост  $V_{oc}$  в атмосфере  $H_2$ , очевидно, не связан с  $\varphi_B$ , а определяется, с одной стороны, увеличением  $b_p \chi_p^{1/2} t$ , т. е. снижением темнового тока, а с другой — ростом  $J_{cc} \approx J_n^{ph}$  благодаря увеличению инжекции электронов через ПС из-за создаваемого  $H_2$  дипольного слоя.

Отметим в заключение, что полученные на исследованных диодных структурах данные свидетельствуют, что изменение тока в атмосфере  $H_2$  в режиме двойной инжекции может достигать значительных величин — в отдельных образцах оно составляло 1—1.5 порядка, особенно в области повышенных напряжений ( $> 0.8$  В) (рис. 2, кривые 1, 3). Изменение фотоэдс на барьере при этом может служить альтернативным (параллельным) методом регистрации водородосодержащих газов.

#### СПИСОК ЛИТЕРАТУРЫ

- [1] N. Yamamoto, S. Tonomura, T. Matsuoka, H. Tsubamura. *J. Appl. Phys.*, **52**, 6277 (1981).
- [2] M. Yousuf, B. Kuliev, B. Lalevic, T. L. Poteat. *Sol. St. Electron.*, **25**, 753 (1982).
- [3] J. Fogelberg, I. Lundström, L.-G. Petersson. *Phys. Scripta*, **35**, 702 (1987).
- [4] I. Lundström, M. S. Shivaraman, C. M. Svensson. *J. Appl. Phys.*, **46**, 3876 (1975).
- [5] Г. Г. Ковалевская, Л. Кратена, М. М. Мередов, А. М. Маринова, С. В. Слободчиков. *Письма ЖТФ*, **15**, 55 (1989).
- [6] Г. Г. Ковалевская, А. М. Маринова, С. В. Слободчиков. *ЖТФ*, **59**, 155 (1989).
- [7] M. Inuiishi, B. W. Wessels. *Electron. Lett.*, **17**, 685 (1981).
- [8] Г. Г. Ковалевская, Е. В. Руссу, С. В. Слободчиков, Г. М. Филаретова. *ФТП*, **14**, 587 (1982).
- [9] E. Hökelek, G. Y. Robinson. *Appl. Phys. Lett.*, **4**, 426 (1982).
- [10] A. M. Goodman. *J. Appl. Phys.*, **34**, 329 (1963).
- [11] Э. И. Адиорович, Л. М. Карагеоргий-Алкалаев, А. Ю. Лейдерман. Токи двойной инжекции в полупроводниках, **73**, М. (1978).
- [12] H. Dannetun, I. Lundström, L.-G. Petersson. *Surf. Sci.*, **193**, 109 (1988).

Редактор: Л. В. Шаронова